

საქართველოს ტექნიკური უნივერსიტეტი

ხელნაწერის უფლებით

ზურაბ ავალიშვილი

გაუმჯობესებული ალმასკომპოზიციური მასალის
მიღება ნანოტექნოლოგიების გამოყენებით

დოქტორის აკადემიური სარისხის მოსაპოვებლად
წარდგენილი დისერტაციის

ავტორეფერატი

თბილისი
2016 წელი

სამუშაო შესრულებულია საქართველოს ტექნიკური უნივერსიტეტის ქიმიური ტექნოლოგიისა და მეტალურგიის ფაკულტეტის მეტალურგიის, მასალათმცოდნეობისა და ლითონების დამუშავების დეპარტამენტის მასალათმცოდნეობის საგანმანათლებლო პროგრამაში

ხემძღვანელები:

სრული პროფესორი ნ.ლოლაძე

ასოც. პროფესორი მ.წეროძე

რეცენზენტი:

რეცენზენტი:

დაცვა შედგება ----- წლის “-----” -----, ----- საათზე
საქართველოს ტექნიკური უნივერსიტეტის ქიმიური ტექნოლოგიისა და
მეტალურგიის ფაკულტეტის სადისერტაციო საბჭოს კოლეგიის სხდომაზე,
კორპუსი -----, აუდიტორია -----

მისმარათი: 0175, თბილისი, მ.კოსტავას 68.

დისერტაციის გაცნობა შეიძლება სტუ-ს ბიბლიოთეკაში,
ხოლო ავტორეფერაციისა – ფაკულტეტის ვებ-გვერდზე

სადისერტაციო საბჭოს მდივანი -----

ნაშრომის ზოგადი დახასიათება თემის აქტუალობა

ნებისმიერი მასალის თვისებების კომპლექსს უმეტეს წილად განაპირობებს მისი მიღების ტექნოლოგიური პარამეტრები. განსაკუთრებით მნიშვნელოვანი როლი ენიჭება მიღების პირობებს მრავალკომპონენტიანი კომპოზიციური მასალების ფორმირებისას. განსაკუთრებით მნიშვნელოვანია ტექნოლოგიური პარამეტრების ზეგავლენა ისეთი მასალის მიღებისას, რომელსაც განეკუთნებია ალმასკომპოზიციური და სხვ. ზესალი მასალები. ისეთი პარამეტრების ცვალებადობა, როგორიცაა საწყისი ფხვნილოვანი კომპონენტების მარცვლოვანება, მარცვლების ფორმა და გეომეტრია, პრესვადობა და შესაბამისად პლასტიფიკატორების გამოყენების აუცილებლობა, შეცხობის წნევის და ტემპერატურის მნიშვნელობები, შეცხობის გარემო და სხვა მთლიანად განაპირობებენ მიღებული მასალის ხარისხს. უმეტეს შემთხვევაში, ალმასი გამოიყენება ალმასკომპოზიტი, როგორც კომპოზიტის შემადგენელი ძირითადი კომპონენტი.

ყველა წაყენებული მოთხოვნის ერთობლიობის მქონე მასალის შექმნა თანამედროვე მეცნიერებისა და ტექნოლოგების გლობალურ ამოცანას წარმოადგენს. დასმული პრობლების გადაწყვეტა ხორციელდება ახალი შედგენილობების და ბუნების მქონე მასალებისა და პროგრესული ტექნოლოგიების გამოყენებით.

ალმასური დამუშავების თეორიიდან და პრაქტიკიდან ცნობილია, რომ ამჟამად მაღალი ხარისხის და მსხვილმარცვლოვანი ალმასური კრისტალების –რომლებიც არმირებული არიან ძვირადლირებული ალმასკომპოზიტები, ჭრის პოტენციალური შესაძლებლობები ძალიან დაბალ დონეზე (10-20%-ით) არის გამოყენებული. დანარჩენი კრისტალების მასა ალმასური დამუშავების პროცესში ისე ვარდება კომპოზიტის ლითონური მატრიციდან და გადადის შლამში, რომ ვერ (არ) ასრულებს სასარგებლო სამუშაოს. ამიტომაც, ასეთი კატეგორიის ალმასკომპოზიციური მასალის მუშაობის ექსპლუატაციური მაჩვენებლის გაუმჯობესება ძალიან მნიშვნელოვანია და დიდ ეკონომიკურ ეფექტობაზად დაკავშირებული.

ალმასკომპოზიტის მუშაობის ექსპლუატაციურ მაჩვენებლებს უპირველეს ყოვლისა განსაზღვრავენ ალმასკომპოზიტის შემკვრელის შემადგენლობები. მძიმე პირობებში სამუშაოდ გათვალისწინებული ალმასების შემკვრელად ძირითადად ლითონური ან ლითონ-კერამიკული სისტემები გამოიყენება. შემკვრელის კონცენტრაცია ამ შემთხვევაში არის არანაკლებ 50%. მოხმარების ექსტრემალური პირობების გამო, ამ ტიპის შემკვრელებს შესაბამისად წაეყენებათ მთელი რიგი მკაცრი მოთხოვნები.

შემკვრელის დანიშნულებაა ალმასური კრისტალების დაჭერა. შემკვრელი ალმასების კრისტალების ხარისხთან და კონცენტრაციასთან ერთად ალმასური ინსტრუმენტის ვარგისიანობის განმსაზღვრელია. შემკვრელის ხარისხი განსაზღვრავს ალმასის მოხმარების პოტენციალს. შემკვრელის მუშა უნარი ხასიათდება ორი ძირითადი თვისებით: შემკვრელის მიერ მარცვლების დაჭერის სიმტკიცით (ალმასდაჭერის უნარი) და შემკვრელის ცვეთამედეგობით. ალმასდაჭერის უნარი განისაზღვრება მარცვლების მექანიკური ჩაჭერის სიმტკიცით და ალმასის შემკვრელთან ქიმიური კავშირით. ალმასდაჭერის უნარი დამოკიდებულია შემკვრელის მექანიკურ თვისებებზე და შემკვრელის ადგეზიის უნარზე ალმასთან.

მსოფლიო პრაქტიკაში ამ კლასის ალმასკომპოზიტების მიღებისას ძირითადად გამოიყენება ფხვნილთა მეტალურგიის მეთოდი - რაც გულისხმობს საწყისი კაზმის (ალმასის მარცვლები + განსაზღვრული შემადგენლობის მეტალის ფხვნილთა ნარევი) ცივად დაპირესვას შესაბამისი ფორმის მისაღებად და შემდგომ მის შეცხობას განსაზღვრულ ტემპერატურაზე სპეც. ღუმელში აღმდგენ ან ინერტულ არეში ან ვაკუუმში.

მოწინავე ქვეყნებში წარმოებებში ძირითადად გამოიყენება შედარებით მაღალტექნოლოგიური ცხელი პრესვის მეთოდი. ოპერაცია ხორციელდება ძირითადად გრაფიტის პრეს-ფორმაში (ალმდგენი არე). ამ შემთხვევაში ზღვრული შესაძლებელი თერმოდინამიკური პარამეტრებია ტემპერატურა 850-900°C (ალმასის თერმომედეგობის ზღვარი) წნევა 400-500კგ/სმ² (სპეცგრაფიტების სიმტკიცის ზღვარი). პროცესის ტემპერატურული შეზღუდვა აუცილებელს ხდის კომპოზიტის შემადგენლობაში დიდი რაოდენობით

გამოვიყენოთ დაბალტემპერატურული (Cu, Sn, Zn, Al და სხვ.) მეტალები რომელიც ხასიათდებიან დაბალი ფიზიკურ-მექანიკური თვისებებით და ცუდი ადგეზიურობით ნახშირბადის – ალმასის მიმართ. მიტომ, კვლევა იმ მიმართულებით, რომ შემკვრელებად გამოყენებული იქნას გაუმჯობესებული მაჩვენებლების მქონე სისტემები წარმოადგენს მეცნიერებისა და ტექნოლოგების აქტუალურ ამოცანას.

თემის სიახლე და მიზანი

ალმასური ინსტრუმენტის ლითონშემკვრელს მოეთხოვება ძალიან მაღალი ცვეთამედეგობა. ცვეთამედეგობის განმსაზღვრელ ერთეული ძირითად პარამეტრს (სხვა მახასიათებლებთან ერთად) წარმოადგენს მასალის სისალე. უკვე არსებული და აპრობირებული მაღალი სისალის მქონე შემაკავშირებლები ძირითადად წარმოადგენს ლითონკერამიკული ბუნების შემაკავშირებლებს – Co+WC სისტემას. ასეთი ტიპის კომპოზიტებში WC-ს წილი შეადგენს 80 – 90%-ს რაც მნიშვნელოვნად აძვირებს პროდუქციას (WC-ს სიძვირის გამო) და გარდა ამისა, მოითხოვს შეცხობის პროცესის მაღალ ტემპერატურაზე (1100 – 1200°C) წარმართვას. გარდა ამისა, მოითხოვს ან მაღალი ხარისხის და ლირებულების ბუნებრივი ალმასების გამოყენებას, ან უმაღლესი მარკის მაღალი ოერმომედეგობის მქონე მსხვილი ფრაქციის ხელოვნური ალმასების კრისტალების მოხმარებას. ასეთი მახასიათებლების ალმასები დეფიციტური და შესაბამისად ძვირადღირებულები არიან. ეს გარემოება გარკვეულწილად აფერხებს ლითონკერამიკული შემკვრელების ბაზაზე დამზადებული ალმასური ინსტრუმენტების ფართო გამოყენებას მათ შორის სამშენებლო ინდუსტრიაში სამუშაოში შემოთავაზებულია ტექნიკის სხვადასხვა სფეროში გამოსაყენებელი ალმასკომპოზიტების ექსპლუატაციური მაჩვენებლების გაუმჯობესება და მათი ალმასურ ინსტრუმენტში ეფექტური გამოყენება.

მიზნის მიღწევა განხორციელდა ახალი ტექნოლოგიური პროცესის გამოყენებით და ახალი, არალითონკერამიკული შემკვრელის მოძიებით.

ექსპლუატაციონი მახასიათებლებისა და ეკონომიკური მაჩვენებლების გასაზრდელად შეირჩა და აპრობირებულ იქნა ახალი შემადგენლობის ლითონური შემკვრელები ალმასური ინსტრუმენტისათვის.

დაგეგმილი თვისებების მატარებელი შემკვრელის მიღებაში სიახლე მდგომარეობს იმაში, რომ, ლითონური კომპონენტები ისეა შეჩეული, რომ შეცხობისას (P,T,) პარამეტრების ვარირებით ადგილი აქვს ინტენსიურ ფაზწარმოქმნის პროცესს სისალის მომატებით, რაც თავის მხრივ განაპირობებს ლითონურამიკული შემკვრელისაგან განსხვავებით ბუნებით ერთგვაროვანი მასალის მიღებას ნაკლები საკონტაქტო გამყოფი ზედაპირებით, ასევე იძლევა ფიზიკურ-ქიმიური და მექანიკური მახასიათებლების რეგულირების შესაძლებლობას.

შედეგების გამოყენების სფერო

ალმასური ინსტრუმენტის გამოყენების ძირითადი სფეროებია:

- ყველა მარკის სალი შენადნობებისაგან დამზადებული დეტალებისა და საჭრელი ინსტრუმენტების ასალესად და დასამუშავებლად;
- ნახევარგამტარი მასალების დასაჭრელად და დასამუშავებლად;
- კერამიკების, ფერიტებისა და სიტალების დასამუშავებლად;
- გრაფიტებისა და სხვა ნახშირბადოვანი მასალების დასამუშავებლად;
- არმირებული ორგანული მასალებისა და არმირებული მინა მასალების დასამუშავებლად;
- ძვირფასი ქვების დასამუშავებლად;
- ბუნებრივი და ხელოვნური ქვების საჭრელად, სახეხად და გასაპრიალებლად;
- ფაიფურის, მხატვრული და ტექნიკური მინის დასამუშავებლად;
- ყველა ტიპის ცეცხლგამძლე მასალის დასამუშავებლად.
- სამშენებლო მასალების ფართო გამის – ბეტონები, რკინაბეტონები, ასფალტბეტონები და სხვ. დასამუშავებლად.
- გაზის, ნავთობის ჭაბურღილების ბურღვისას, სამძებრო-გეოლოგიური სამუშაოების დროს.

ალმასური ინსტრუმენტი ჩვეულებრივ აბრაზივებთან შედარებით უზრუნველყოფს დამუშავების სარისეს, სიზუსტეს, მედეგობას, შრომის პირობებისა და წარმოების კულტურის ამაღლებას.

დისერტაციის მოცულობა და სტრუქტურა

სადოქტორო ნაშრომი შედგება: შესავალისაგან, ლიტერატურული მიმოხილვისაგან, რომელიც მოცავს 7 ქვეთავს; შედეგების განსჯისაგან, რომელიც განისაზღვრა 9 ქვეთავით და დასკვნისაგან. ნაშრომი წარმოდგენილია 135 ნაბეჭდ გვერდზე, მოიცავს 34 ნახატს, 24 სურათსა და 23 ცხრილს.

ნაშრომის აპრობაცია

დისერტაციის შედეგების შესახებ მოხსენებულია საქართველოს მეცნიერებათა ეროვნული აკადემიის ახალგაზრდა მეცნიერთა კონფერენციაზე, ბაქურიანი, 2016წ. 26 - 28 თებერვალი.

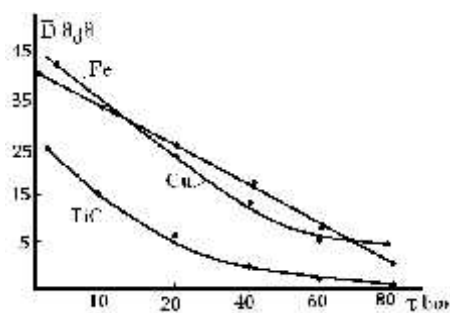
გამოქვეყნებულია 4 სამეცნიერო სტატია რეფერირებად სამეცნიერო ჟურნალებში.

ნაშრომის შედეგები და განსჯა

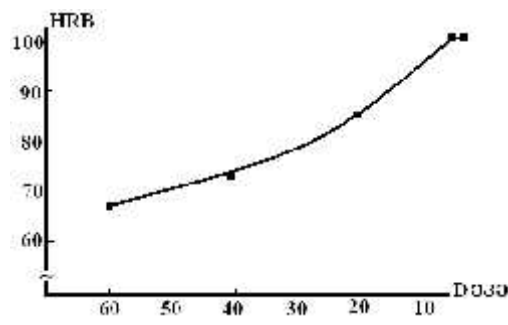
მიზანს წარმოადგენდა შედარებით მაღალი ფიზიკურ-მექანიკური თვისებების მქონე ალმასკომპოზიციური მასალის მიღება მომავალში ტექნიკის სხვადასხვა სფეროში გამოსაყენებლად. კერძოდ, ალმასური ინსტრუმენტის წარმოებისათვის.

აქედან გამომდინარე, პოტენციალურ მასალას წაეყენებოდა ძირითადი მოთხოვნა - ჰქონოდა მაღალი სისალე, ცვეთამედეგობა და გარკვეული დონის სიმტკიცე. ერთეულთ განმსაზღვრელ მახასიათებელს, რომელიც განაპირობებს ალმასკომპოზიციური მასალის მუშაუნარიანობას, წარმოადგენს შერჩეული ლითონური შემკვრელის ალმასდაჭერის უნარი. გარდა ამისა, შექმნილიყო მეთოდოლოგია, რომელიც საშუალებას მოგვცემდა საწყისი მაკროგანზომილებიანი ფხვნილოვანი კომპონენტები გადაგვეუვანა ულტრადისპერსულ ზომებში. შექმნილი ტექნოლოგიით გვეძლევა საშუალება ერთი და იგივე საწყისი ნედლეულის გამოყენების პირობებში კომპლექსურად გაგვეუმჯობესებინა საბოლოო პროდუქცია, ანუ აგვემადლებინა ხარისხის მაჩვენებელი – შესაბამისად შეგვემცირებინა თვითდირებულება.

დაგეგმილი ალმასკომპოზიციური მასალის მიღებისათვის
გამოყენებული იყო ტრადიციული ფხვნილთა მეტალურგიის მეთოდი.
ლითონური შემკვრელის საწყის კომპონენტებად გამოყენებული იყო
ლითონთა დისპერსული ფხვნილები: სპილენძი, ნიკელი, რკინა, კობალტი,
კალა და სხვა. მიღებული ფხვნილები შემდგომი დაწვრილმარცვლოვანების
მიზნით გადიოდნენ შემდგომი აქტივაციის პროცესს. აქტივაციის პროცესი –
დაფქვა ხორციელდება ბურთულებიან წისქვილში.



ნახ.1. ფხვნილების მარცვლების საშ.ზომის ნახ.2. შემცხვარი მასალის სისალის
დამოკიდებულება აქტივაციის დროზე დამოკ.საწყ. ფხვნილის დისპერსულობაზე



ჩვენს მიერ გამოყენებული დოლის კონსტრუქციისთვის დადგენილი
იქნა ფხვნილოვანი ტიტანის კარბიდის, სპილენძის, კობალტის და რკინის
მარცვლის ზომების დამოკიდებულება დაფქვის დროზე ანუ აქტივაციის
პროცესის კინეტიკა. შემუშავებული მეთოდის გამოყენებით მიღებული
შედეგები მოყვანილია (ნახ.1).

ფხვნილების აქტივაციის შედეგად მიღებული სხვადასხვა
დისპერსიულობის ფხვნილები შემდგომში გამოყენებულ იყვნენ კომპოზიციურ
მასალების მისაღებად. როგორც მოსალოდნელი იყო, აქტივაციის შედეგად,
მიღებული წვრილმარცვლოვანი ფხვნილების გამოყენებამ შესამჩნევად
გააუმჯობესა მიღებული, მაგ. Fe-Cu-Sn-Ni სისტემის ცხობილების ფიზიკურ-
მექანიკური მაჩვენებლები, შეცხობის იმავე P - T პირობებისათვის (ნახ.2).

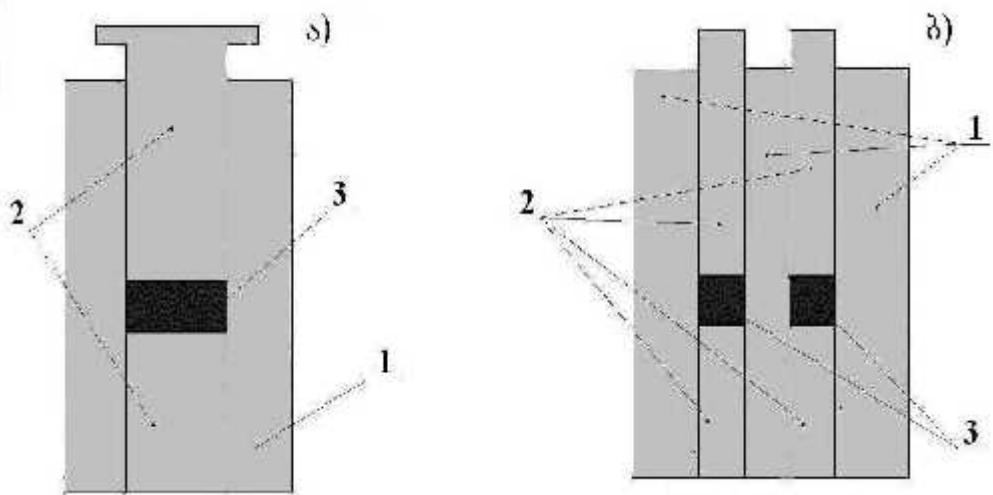
ცხელი პრესვის ტექნოლოგიურ ოპერაციას სასურველი შემადგენლობის
მასალების მიღებისას სხვა ოპერაციებთან შედარებით (ჩამოსხმა, შეცხობა
გაკუუმში და სხვა) საგრძნობი უპირატესობები გააჩნია.

მიუხედავად მრავალი დადებითი ფაქტორისა, რაც თან ახლავს მასალების ფორმირებას მაღალი წნევისა და ტემპერატურის პირობებში, განსაკუთრებით ისეთი მასალებისა, რომელთა შექმნა სხვა ცნობილი მეთოდებით შეუძლებელია, პროცესი ხასიათდება მრავალნაირი სირთულეებით, რომელთა გადაჭრა ზოგიერთ შემთხვევაში ითხოვს სხვადასხვა სფეროში აპრობორებული მაღალტექნოლოგიური მეთოდების გამოყენებას. ასე მაგალითად, უმნიშვნელოვანეს ამოცანას წარმოადგენს დაგეგმილი P - T პარამეტრების შექმნა მინიმალური გრადიენტებით სარეაქციო არის მთლიან მოცულობაში, საჭირო პარამეტრების ზუსტი შენარჩუნება ‡ დროის განმავლობაში და შესაბამისი კონტროლის განხორციელება.

წარმოდგენილ სამუშაოში ჩატარებული იყო სერია ექსპერიმენტებისა, რომელიც მიმართული იყო კომპოზიციური მასალების შეცხობის პირობების გაუმჯობესებისკენ. კერძოდ, შემუშავებული და გამოყენებული იყო ცხელი პრესვის პროცესში მუშა არის ანაწყობის კონსტრუქციები ახალი თბო და ელექტროსაიზოლაციო მასალების გამოყენებით.

ამოცანას წარმოადგენდა გამოვლენილიყო დამოკიდებულება პირდაპირი გახურების მეთოდის პირობებში რეალიზებული P - T პარამეტრების ერთგვაროვნებასა (გრადიენტებისა) და შემცხვარი ნიმუშის ისეთი ფიზიკურ-მექანიკურ მახასიათებლებს შორის, როგორიც არის ნიმუშის სიმკვრივე, სისალე, სიმტკიცე და სხვა.

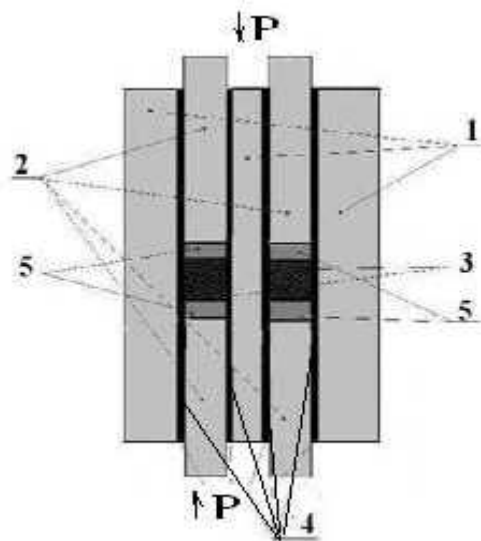
ნახ.3 მოყვანილია პროცესში კომპოზიციური მასალის შეცხობისას გამოყენებული ცხელი პრესვის არსებული სტანდარტული სქემები. ექსპერიმენტების ჩატარებისას ადგილი ჰქონდა სხვადასხვა გეომეტრიის ნიმუშების მიღებას; ერთ შემთხვევაში ხდებოდა ცილინდრული ფორმის (დიამეტრი W 18 მმ და სიმაღლე h 8-9 მმ), ხოლო მეორეში 24×8×8 მმ ზომის ძელაკების შეცხობა.



ნახ. 3. ცილინდრული ფორმის ნიმუშის შესაცხობი წნევე-ფორმა ა), ძელაკის ფორმის ნიმუშის შესაცხობი ასაწყობი წნევე-ფორმა ბ).

1 – მატრიცა, 2- პუანსონი, 3- ნიმუში

შეცხობის პროცესის პირობების შემდგომი გაუმჯობესების მიზნით - რაც განაპირობებს შესაცხობი დეტალის სიმაღლის გაზრდის შესაძლებლობებს, ჩვენს მიერ შერჩეული ანაწყობის სქემით გამოყენებული იქნა ორმხრივი პრესვის მეთოდი.

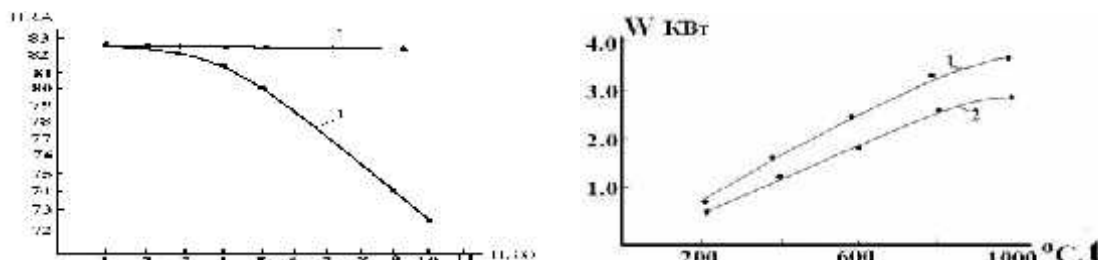


ნახ. 4. სეგმენტის ფორმის ნიმუშის შესაცხობი წნევე-ფორმა დამცავი დანაფარით და თბოიზოლაციით ორმხრივი წნევეგისას.

1 – მატრიცა, 2- პუანსონი, 3- ნიმუში, 4-დანაფარი,
5- თერმო იზოლატორი

ნახ. 4-ზე მოყვანილი წნევეფორმის ანაწყობის საბორო სქემის გამოყენებამ საშუალება მოგვცა ფაქტიურად გაგვეთანაბრებინა მიღებული შემცხვარი ნიმუშების მახასიათებლები (სისალეები) დეტალების მთლიან მოცულობაში.

ნახ. 5-ზე მოყვანილია სისალეების ცვალებადობა ნიმუშის მოცულობაში – კერძოდ სიმაღლეში, მათი შეცხობისას, როგორც ერთმხრივი, ასევე ორმხრივი პრესვის პირობებში. წარმოდგენილი დამოკიდებულებიდან ნათლად ჩანს, ორმხრივი პრესვის უპირატესობა. გარდა ამისა, Al_2O_3 და SiO_2 ბაზაზე შექმნილმა გრაფიტ-კერამიკულმა თბო და საიზოლაციო მასალებმა და მათმა გამოყენებამ საშუალება მოგვცა გარდა ტემპერატურული გრადიენტის მინიმუმამდე დაყვანისა, შეგვემცირებინა ცხელი პრესვის ენერგოდანახარჯები 20-30%-ით, რაც კიდევ ერთი ნაბიჯია პროცესის ეფექტურობის გაზრდის მიმართულებით ნახ. 6.



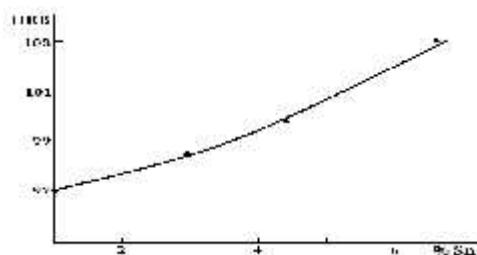
ნახ. 5. სისალის HRB ცვლილება ნიმუშის ნახ.6. მუშა მოცულობის გახურის სიმაღლესთან მიმართებაში მოხმარებული ელ. სიმძლ. ცვლილება
1) ერთმხრივი პრესვა 2) ორმხრივი პრესვა წნევეფორმის სხვადასხვა ანაწყობისათვის

წარმოდგენილ სამუშაოში მოყვანილია ზოგიერთი ექსპერიმენტალური მონაცემი Co-Cu-Sn სისტემის და ცალკე მასში შემავალი ქვესისტემის Cu-Sn შეცხობისა, სხვადასხვა თერმოდინამიკური (P-T) და კინეტიკური (‡) პარამეტრებისას.

Co-Cu-Sn სისტემის მიმართ ინტერესი განპირობებულია იმ გარემოებით, რომ იგი წარმოადგენს სტუ-ის “ალმასების და კომპოზიტიური მასალების სამეცნიერო ცენტრში” შექმნილი ლითონშემკვრელის ბაზურ შემადგენლობას და გამოირჩევა მაღალი მახასიათებლებით ალმასურ ინსტრუმენტში ალმასური დამუშავების სხვადასხვა ოპერაციებზე. აღნიშნული

შემკვრელის ექსპლუატაციური მახასიათებლების გაუმჯობესებისათვის საჭირო გახდა მონახულიყო საშუალება შენადნის მასალის ისეთი ფიზიკურ-ქიმიური და ფიზიკურ-მექანიკური მახასიათებლების კომპლექსურად ასამაღლებლად, როგორიცაა: სისალე, სიმტკიცე, დარტყმითი სიბლანტე, ალმასის კრისტალის ზედაპირისადმი ადგეზია, თბოგამტარობა, დასამუშავებელი მასალისადმი ხახუნის კოეფიციენტის შემცირება და სხვ.

ქვემოთ მოყვანილია შერჩეული Co-Cu-Sn შემადგენლობის სისტემაში კალის (Sn) შემცველობის ზეგვალენა შენადნის სისალეზე (ნახ.7).



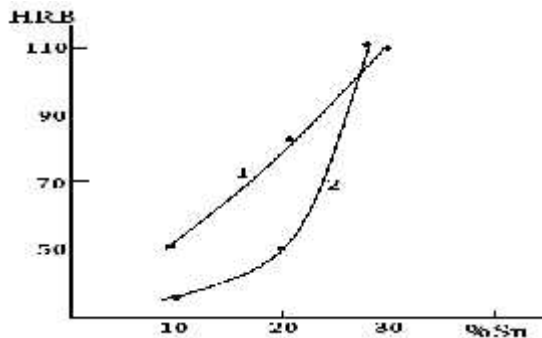
ნახ. 7. ცხობილის სისალის ცვლილების დამოკიდებულება კალის შემცველობაზე სისტემაში Co-Cu-Sn (სადაც Co-70%) შეცხობისას – $T=800^{\circ}\text{C}$, $P=350\text{kg}/\text{cm}^2$, $\dot{t}=120\text{Kd}$.

კალის კონცენტრაციის ზრდა 0დან 7%-მდე იწვევს სისალის საგრძნობ მომატებას არა ნაკლებ 10 ერთეულისა. კალის შემცველობის შემდგომ მომატებას თან ახლავს შენადნში ჭარბი თხევადი ფაზის წარმოშობა და შესაბამისად ითხოვს შეცხობის ტემპერატურის მკვეთრ შემცირებას რაც არ არის რეკომენდირებული. კალის ზეგვალენით სისალის მომატება ამ შემთხვევაში განპირობებული უნდა იყოს შესამჩნევი რაოდენობის ინტერმეტალიდების წარმოშობით, რაც გარკვეულ წილად ფიქსირდება შესაბამისი ნიმუშების მიკროსისალების ანალიზით. კალის კონცენტრაციის მატებასთან ერთად ფიქსირდება მიკროუბნები გამორჩეულად მაღალი სისალეებით, საორიენტაციოდ, სხვადასხვა სტექიომეტრის CuSn –ის შემცველობით.

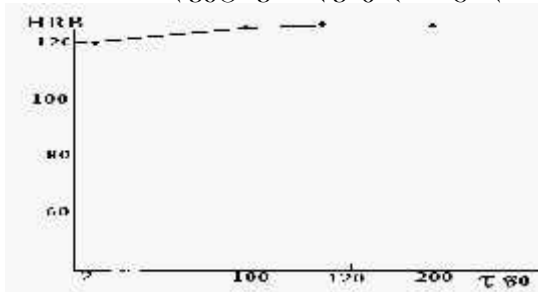
ამ ვარაუდის მეცნიერებლი დასაბუთებისთვის ჩატარდა სერია ექსპერიმენტებისა Co-Cu-Sn სისტემიდან მასში შემავალი (Cu –Sn) ქვესისტემების შესასწავლად შეცხობის სხვადასხვა თერმოდინამიკურ და კინეტიკური პარამეტრების პირობებში.

შესწავლითი იყო ნახსენები შემადგენლობის მიკრო და მაკრო სისალეების დამოკიდებულება $P - T - \frac{f}{\delta}$ პარამეტრებზე და აგრეთვე Ni-ით ლეგირების ეფექტზე (ნახ.8-10) შედარებისათვის Cu-Sn შენადნი კალის სხავდასხვა შემცველობით მიღებულ იქნა ინდუქციურ დუმელში გამოდნობით და შემდგომი ჩამოსხმით (ნახ.8).

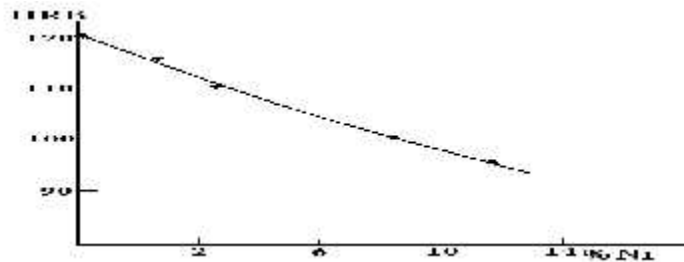
მიღებული და წარმოდგენილი შედეგები იძლევა შემდგომი ძირითადი მოკლე დასკვნების გაკეთების საშუალებას. Cu-Sn სისტემაში კალის კონცენტრაციის ზრდა იწვევს სისალეების და მიკრო სისალეების (ნახ.8). მნიშვნელოვან ზრდას, რაც განპირობებულია ინტერმეტალიდების წარმოშობის ინტენსიფიკაციით.



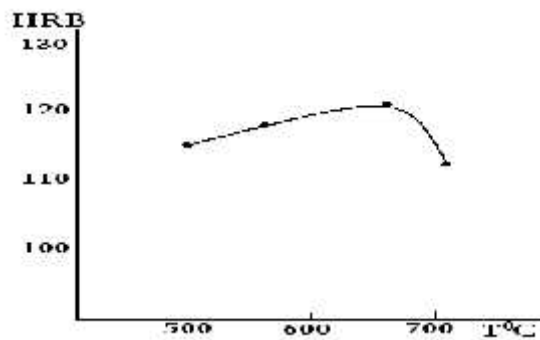
ნახ. 8. 1) ცხობილის სისალის დამოკიდებულება კალის შემცველობაზე სისტემაში Cu-Sn შეცხობისას – $T = 700^{\circ}\text{C}$, $P = 350\text{კგ/სმ}^2$, $\frac{f}{\delta} = 120\text{წმ}$.
2) ცხობილის სისალის დამოკიდებულება კალის შემცველობაზე სისტემაში Cu-Sn ინდუქციურ დუმელში გადნობით და ჩამოსხმით.



ნახ. 9. ცხობილის სისალის ცვლილების დამოკიდებულება შეცხობის დროზე სისტემისათვის Cu-Sn (სადაც Cu-70%) შეცხობისას – $T = 685^{\circ}\text{C}$, $P = 350\text{კგ/სმ}^2$



ნახ. 10. ცხობილის სისალის ცვლილების დამოკიდებულება ნიკელისშემცველობაზე სისტემაში Cu-Sn-Ni (სადაც Cu-70%) შეცხობისას – $T = 685^{\circ}\text{C}$, $P = 350\text{კგ/სმ}^2$, $\dot{t} = 120\text{წმ}$.



ნახ. 11. Cu-70%–Sn-30% შემადგენლობის ცხობილის სისალის ცვლილების დამოკიდებულება შეცხობის ტემპერატურაზე შეცხობისას – $P = 350\text{კგ/სმ}^2$, $\dot{t} = 120\text{წმ}$.

70%Cu – 30%Sn შემადგენლობაში შენადნის სისალის მნიშვნელობები ფიქსირებული ტემპერატურის (685°C) და წნევის ($P = 350\text{კგ/სმ}^2$) მიღების პირობებში ფაქტიურად არ არის დამოკიდებული პროცესის ხანგძლივობაზე და იცვლება უმნიშვნელოდ. (ნახ.9) ეს გარემოება ცხადყოფს რომ შერჩეული პარამეტრების პირობებში შენადნის სისალე ფაქტიურად აღწევს მაქსიმალურ მნიშვნელობებს 2წმ-ნი ხანგძლივობის დროს, რაც მეტყველებს მიმდინარე ინტერმეტალური ნაერთების წარმოშობის პროცესის მაღალ სიჩქარეებზე. ნიკელის შეყვანა Cu – Sn შენადნში მკვეთრად ამცირებს აღნიშნული ქიმიური რეაქციის ინტენსივობას (ნახ.10).

შეცხობის ტემპერატურის გავლენა შენადნის სისალეზე უმნიშვნელოა ტემპერატურულ ინტერვალში 500 – 685°C პროცესის უფრო მაღალი ტემპერატურები ამცირებენ იტერმეტალიდების რაოდენობას, რაც სავარაუდოდ განპირობებულია მათი დაშლით. (ნახ.11).

ინტერესის საგანს წარმოადგენდა შერჩეულ საბაზო სისტემებში Co – Cu – Sn –ში შემავალი დაბალდობადი ქვესისტემების Cu-Sn –ის სტრუქტურის

და ფაზური შემადგენლობის დადგენა სხვადასხვა $P - T$ – \pm პარამეტრების პირობებში შეცხობის დროს. იმის გათვალისწინებით, რომ შეცხობის პროცესის ხანგრძლივობა \pm შეზღუდულია $120 - 180$ წმ. ე.ი. საქმე გვაქვს Cu-Sn სისტემაში ფაზწარმოქმნის არაწონასწორულ – კინეტიკურ რეჟიმთან. ქვედან გამომდინარე, არსებული და ლიტერატურაში კარგად გაშუქებული ამ სისტემის წონასწორული დიაგრამები არ იძლევიან სრულყოფილი პროგნოზირების საშუალებას ამა თუ იმ ფაზების წარმოშობის თაობაზე.

მიღებული ნიმუშების უფრო დრმა ანალიზისათვის ჩატარდა მათი რენტგენოგრაფიული კვლევა.

№1 ნიმუში წარმოადგენს $70\% \text{Cu} + 30\% \text{Sn}$ შენადნს, რომელიც მიღებულია ინდუქციურ ლუმელში გამოდნობით და ჩამოსხმით. №1 ნიმუშის კრისტალური მესრის სტრუქტურა და მესრის პარამეტრები ($F = 43\text{m}$, $\alpha = 17.9553 \text{ } 0.001\text{\AA}$) შეესაბამება უ-ფაზის მონაცემებს. მისი ქიმიური შედგენილობა სხვადასხვა ლიტერატურული წყაროს მონაცემებით რამდენადმე განსხვავებულია ($\text{Cu}_{31}\text{Sn}_8$, $\text{Cu}_{41}\text{Sn}_{11}$, $\text{Cu}_{327}\text{Sn}_{88.08}$), დიფრაქტოგრამაზეც – ფაზის გარდა სხვა კრისტალური ფაზა არ ფიქსირდება. №2 ნიმუში წარმოადგენს $70\% \text{Cu} + 30\% \text{Sn}$ შემადგენლობის შენადნს, შემცხვარს $T = 685^\circ\text{C}$, $P = 350 \text{Jg/lbm}^2$, $\pm = 120^\circ\text{C}$ პირობებში. №2 ნიმუში ორი კრისტალური ფაზისაგან შედგება. ძირითადი უ-ფაზის გარდა ფიქსირდება α -ფაზის (მყარი ხსნარი სპილენის საფუძველზე; სივრცული ჯგუფი ($F = m^3\text{m}$, $\alpha = 3.699 \text{ } 0.001\text{\AA}$) შესაბამისად სუსტი დიფრაქტიული მაქსიმუმებიც). №3 ნიმუში წარმოადგენს $80\% \text{Cu} + 20\% \text{Sn}$ შემადგენლობის შენადნს, შემცხვარს $T = 700^\circ\text{C}$, $P = 350 \text{Jg/lbm}^2$, $\pm = 120^\circ\text{C}$ პირობებში (ნახ. 8). №3 ნიმუშიც ორი კრისტალური ფაზისაგან შედგება. თუმცა, №2 ნიმუშისაგან განსხვავებით ძირითადად ფიქსირდება α -ფაზის (მყარი ხსნარი სპილენის ფუძეზე; სივრცული ჯგუფი ($F = m^3\text{m}$, $\alpha = 3.699 \text{ } 0.001\text{\AA}$) შესაბამისი დიფრაქტიული მაქსიმუმები. უ-ფაზის შესაბამისი დიფრაქტიული მაქსიმუმები შედარებით სუსტია. ადსანიშნავია, რომ №1, №2 და №3 ნიმუშების უ-ფაზის

ტექსტურა განსხვავდება ერთმანეთისაგან (განსხვავებულია დიფრაქციული მაქსიმუმების ინტენსივობების ფარდობითი მნიშვნელობების პროპორციები).

აღსანიშნავია კიდევ ერთი გარემოება, ზემოთ ნახსენებ Co – Cu – Sn შემადგენლობის კომპოზიციაში მიღებული ნიმუშების მაქსიმალური სისალეები არ აღმატება 104 – 105 HRB ერთეულს და იგი გამოირჩევა ზომიერი სიმტკიცით $t_b = 80 - 90$ კგ/მმ². ასეთი პარამეტრების მქონე შემაკავშირებელი კარგად მუშაობს საშუალო და დაბალი კატაგორიის გრანიტების დამუშავებისას. მაღალი აბრაზიულობის მქონე მასალების (ბეტონების) და ასევე ასფალტბეტონის დასამუშავებლად სავარაუდოდ სასურველია უფრო მაღალი სისალის და შესაბამისი ცვეთამედეგობის მქონე შემაკავშირებელი.

სამუშაოს ფარგლებში, რომელშიც გამიზნული იყო ალმასკომპოზიციური მასალის შექმნა საამშენებლო ინდუსტრიაში გამოსაყენებლად, ძირითადი ყურადღება მიმართული უნდა ყოფილიყო ისეთი მასალების დამუშავებისაკენ, როგორიცაა ბეტონი, არმირებული ბეტონი და ასფალტბეტონი, რადგანაც ამ მასალების წილი საამშენებლო ინდუსტრიაში ბევრად მეტია ბუნებრივ ქვებთან შედარებით.

აქედან გამომდინარე, გამოიკვეთა ამოცანა, შექმნილიყო ისეთი შემადგენლობის შემაკავშირებელი, რომელიც დახასიათდებოდა უფრო მაღალი სისალით და შესაბამისად ცვეთამედეგობით. ამავდროულად, მისი შეცხობის ტემპერატურა იქნებოდა ზომირ ფარგლებში (850), რაც საშუალებას იძლევა გამოყენებულ იქნან შედარებით არადეფიციტური ხელოვნური ალმასური კრისტალები (AC160T; AC200T). ასევე, გასათვალისწინებელია ის გარემოება, რომ საამშენებლო ინდუსტრიაში გამოყენებულ ზოგიერთ ალმასურ ინსტრუმენტს უწევს მშრალ პირობებში მუშაობა ანუ წყლით გაციების გარეშე. ასეთი მოთხოვნა განპირობებულია წმინდა საამშენებლო ტექნოლოგიური მოთხოვნიდან გამომდინარე, მაგ. ბეტონის მოჭიმული იატაკების ხეხვა – პოლირების დროს. მშრალ პირობებში მოჟუშავე ალმასური ინსტრუმენტის მუშა ზედაპირზე ტემპერატურებმა შეიძლება მიაღწიოს $400 - 500^{\circ}\text{C}$, ხოლო ლოკალურ

უბნებზე $500 - 600^{\circ}\text{C}$, ეს გარემოება დამატებით მოთხოვნებს უქენებს მუშა ზედაპირის გეომეტრიას და რაც უკელაზე მნიშვნელოვანია, ფუნქციონალური მჭრელი ნაწილის ალმასკომპოზიციურ მასალას. კერძოდ, ალმასკომპოზიტის ლითონშემკვრელს – შემაკავშირებელს. მას დამატებით მოეთხოვება აღნიშნულ ტემპერატურულ ინტერვალში ($300 - 500^{\circ}\text{C}$) ფიზიკურ-მექანიკური მახასიათებლების (სისალე, სიმტკიცე და ა.შ.) შენარჩუნება. ამ გარემოების გათვალისწინებით, დაიგეგმა შედარებით დაბალდნობადი კომპონენტების Cu-ის ჩანაცვლება და შესაბამისად Cu-Sn, ქვესისტემაში თხევადი ფაზის წარმოშობის გამორიცხვა. დაიგეგმა Co,, Co-Sn,, Co - Sn - Ni, სისტემების გამოყენება, რომელშიც წონასწორობის დიაგრამიდან გამომდინარე Sn-ის 20%– ით შემცველობის პირობებშიც გამოირიცხება თხევადი ფაზის წარმოშობა 1180°C –მდე, გარდა ამისა, $500 - 800^{\circ}\text{C}$ ტემპერატურულ ინტერვალში, Sn აქტიურად ურთიერთქმედებს Ni-თან და Co-თან სხვადასხვა სტექიომეტრიის მაღალი სისალის მქონე ინტერმეტალიდების წარმოშობით (სტანიდები, დისტანიდები).

ცხრილი 1. Co – Sn – Ni სისტემის ლითონშემკვრელების შემადგენლობები და მიღების პირობები

სისტემა	T	τ	P
Co-Sn 100 -0%	$800-880^{\circ}\text{C}$	2-200წ	350კგ/სმ^2
90 -10%			
85 -15%			
80 -20%			
Co-Sn-Ni 90-4-6%	$820-880^{\circ}\text{C}$	120-180წ	350კგ/სმ^2
80-8-12%			
70-12-18%			
60-15-25%			
50-20-30%			
40-24-36%			

ცხრ. 1. მოყვანილია შერჩეული სისტემის ლითონშემკვრელების შემადგენლობები და მიღების პირობები, ხოლო ჯამურ ცხრილში (ცხრ.2), მიღებული შედეგები. მათ შორის სისალეები, მიკროსისალეები,

სიმტკიცეები ღუნგაზე და ზოგიერთი საეტალონო და საბაზო ნიმუშის დარტყმითი სიბლანტეები.

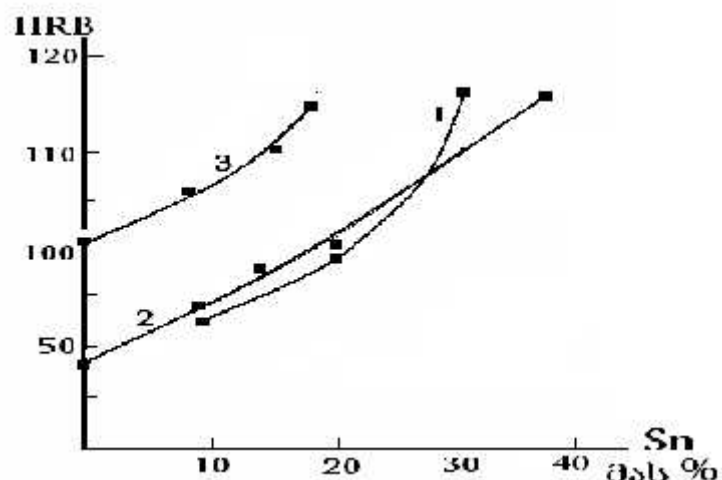
ცხრილი 2. შერჩეული სისტემის ლითონშემკვრელების მიღების და ექსპერიმენტალური შედეგების ჯამური ცხრილი

ნიმუში	შეცხო ბის $T^{\circ}\text{C}$	ფაზური შემადგენლობა	მიკრო სისალე HV	სისალე HRC	სიმტკიცე ღუნგაზე კგ/მმ ²	დარტყმითი სიბლანტე KCU კკ/მ ²
Ni	900			45 (HRB)		11,2
Fe-Cu -Ni- Sn 51-32-9-8%	790		140-220	23	101	5,8
Co	820		238-333			
	860	Co Co	200-370	28	176	5,8
	880		223-360			
Co აქტივორ.	820		200-380			
	860		270-390	29	179	5,9
	880		260-395			
Co-Sn 85-15%	820		300-580			
	850	Co Co მყ. ხსნარი Sn-ის Co-ზი Co_3Sn_2	360-690	36	56	3,7
	880		373-520			
Co-Sn აქტივორ.	820		260-450			
	860		350-540	38	61	3,9
	880		380-517			
Co-Sn-Ni 70-12-18%	820		260-450			
	860	Co Co Co_3Sn_2	290-870	35	76	5,4
	880		270-610			
Co-Sn-Ni 70-12-18% აქტივორ,	820					
	860		327-456	37	80	6,0
	880					
Co-Sn-Ni 60-16-24%	820					
	860	Co Co $\text{Co}_3\text{Sn}_2 \text{ Ni}_3\text{Sn}$	301-429	38	73	5,7
	880					
Co-Sn-Ni 50-20-30%	820					
	860	Co Co $\text{Co}_3\text{Sn}_2 \text{ Ni}_3\text{Sn}$	261-471	42	74	
	880					
Co-Sn-Ni	820					

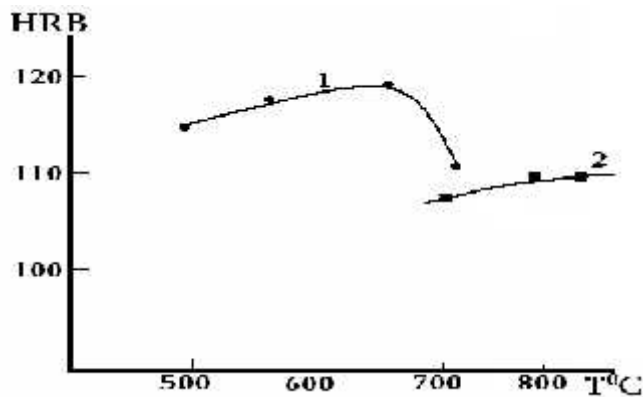
40-24-36%	860	Co Co ₃ Sn ₂ Ni ₃ Sn		44		
	880					
Co-Sn-Ni 60-16-24% BN-0,1%	820					
	860	Co Co ₃ Sn ₂ Ni ₃ Sn		39		
	880					

ამ თვალსაზრისით, იმედის მომცემი უნდა იყოს Co – Sn – Ni სისტემა. კანონზომიერება მეორდება, კალის კონცენტრაციის მომატება Co – Sn სისტემაში იწვევს სისალის მკვეთრ ამაღლებას (ნახ. 12). ნიკელის დამატება შედარებით ამცირებს სისალეს და ზრდის სიმტკიცეს (ცხრ.2).

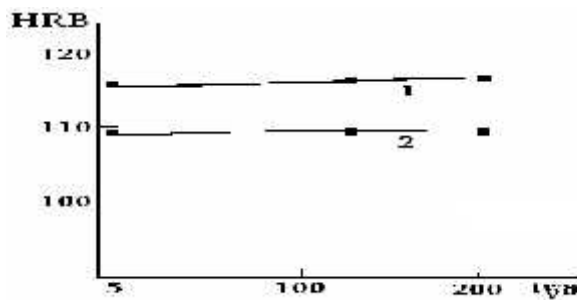
მიღებული ექსპერიმენტალური შედეგების ანალიზმა საშუალება მოგვცა გამოგვევლინა გარკვეული კანონზომიერებები ორ და სამკომპონენტიან სისტემებში შემადგენლობისა და ცხელი პრესვის პროცესის კინეტიკური პარამეტრების ვარირების გავლენისა შემცხვარ ნიმუშების ზოგიერთ ფიკურ-მექანიკურ მახასიათებლებზე. ნახ. 12 – 16 მოყვანილია Cu-Sn; Ni-Sn; Co – Sn და Co- Sn-Ni სისტემების ნიმუშების სხვადასხვა პარამეტრებზე დამოკიდებულების ჯამური მრუდები.



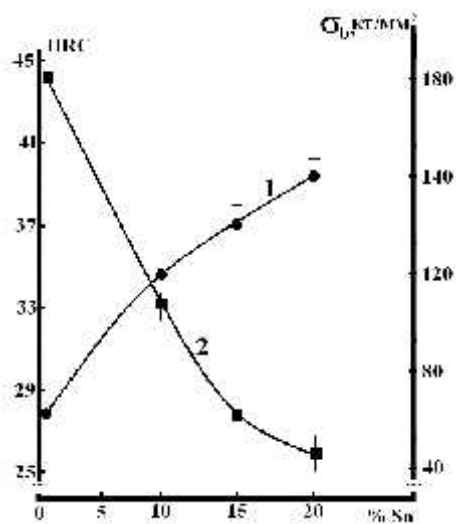
ნახ. 12. ცხობილების სისალის დამოკიდებულება კალის შემცველობაზე
1. Cu-Sn; 2. Ni-Sn; 3. Co – Sn T= 700 -900°C; P=350 კგ/სმ².



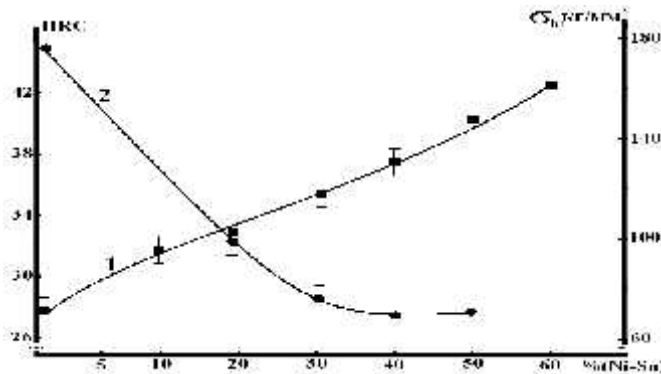
ნახ. 13. ცხობილების სისალის ცვლილების დამოკიდებულება შეცხობის
ტემპერატურაზე 1. Cu70% - Sn30% ; 2. Co85% - Sn15%



ნახ. 14. ცხობილების სისალის ცვლილების დამოკიდებულება შეცხობის
დროზე 1. Cu70% - Sn30% ; 2. Co85% - Sn15%



ნახ. 15. Co-Sn სისტემების ცხობილების სისალის(1) და სიმტკიცის (2)
დამოკიდებულება კალის შემცველობაზე



ნახ. 16. Co- Sn-Ni სისტემების შემცხვარი ნიმუშების სისალის (1) და სიმტკიცის (2) დამოკიდებულება (Ni-Sn)-ის პროცენტულ შემადგენლობაზე

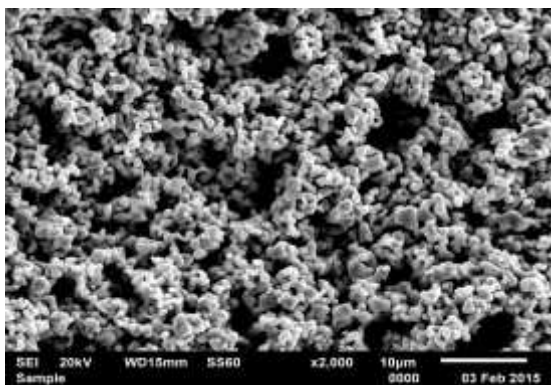
უფრო დეტალური ინფორმაციის მისაღებად ჩატარებულ იქნა საბაზო შერჩეული სისტემების Co, Co-Sn, და Co-Sn-Ni შემცხვარი ნიმუშების რენტგენოგრაფიული და ელექტრონომიკროსკოპიული კვლევა. კერძოდ, ჩატარებულ იქნა ცხობილების ფაზური ანალიზი.

გამოკვლეული იყო შემცხვარი ნიმუში #1.Co, #2.85% Co-15%Sn, #3. 70%Co-12%Sn-18%Ni, და #4. 70%Co-12%Sn-18%Ni აქტივირებული ფხვნილებით შემცხვარი.

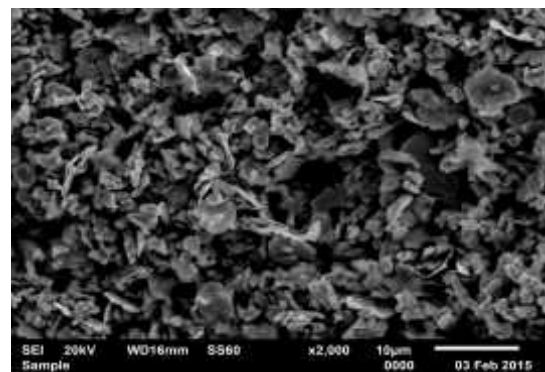
№1 ნიმუში შეიცავს r - კობალტს ($P63/mmc$, $a = b = 2.503 \pm 0.1\text{\AA}$, $c = 4.05 \pm 0.1\text{\AA}$) მაღალტემპერატურულ s - კობალტს ($Fm\bar{3}m$, $a = 3.538 \pm 0.01\text{\AA}$) და მიკრორაოდენობით კობალტის ჟანგს. №2 ცხობილი შეიცავს r - კობალტს ($P6/mmc$, $a = b = 2.50 \pm 0.01\text{\AA}$, $c = 4.07 \pm 0.01\text{\AA}$); s - კობალტს (მაღალტემპერატურული მოდიფიკაცია) ($Fm\bar{3}m$, $a = 3.546 \pm 0.01\text{\AA}$); ინტერმეტალიდს $-Co_3Sn_2$ და სავარაუდო კალის ჟანგს (SnO_2). აღსანიშნავია, რომ Co-Sn, შემადგენლობის ნიმუშში კობალტის ორივე მოდიფიკაციაში სუფთა კობალტთან შედარებით პარამეტრები გაიზარდა სავარაუდო მასში Sn -ის გახსნის გამო და მყარი ხსნარის წარმოშობით. №3. ნიმუში შეიცავს r - კობალტს ($P6/mmc$, $a = b = 2.503 \pm 0.01\text{\AA}$, $c = 4.05 \pm 0.01\text{\AA}$); s - კობალტს (მაღალტემპერატურული მოდიფიკაცია) ($Fm\bar{3}m$, $a = 3.538 \pm 0.01\text{\AA}$); ინტერმეტალიდს $-Co_3Sn_2$ და მიკრორაოდენობით სავარაუდო კობალტის ჟანგს CoO . №4. ნიმუში შეიცავს r - კობალტს ($P63/mmc$, $a = b = 2.503 \pm 0.1\text{\AA}$, $c = 4.05 \pm 0.1\text{\AA}$) s - კობალტს (მაღალტემპერატურული მოდიფიკაცია) ($Fm\bar{3}m$, $a = 3.538 \pm 0.01\text{\AA}$) ინტერმეტალიდს $-Co_3Sn_2$ და მიკრორაოდენობით კობალტის ჟანგს.

სამუშაოში წარმოდგენილია შერჩეული შემადგენლობის ცხობილების ელექტრონულ – მიკროსკოპული კვლევის შედეგები.

მოყვანილია როგორც საწყისი, ასევე აქტივირებული (აქტივაციის დრო 50 სთ) კობალტის ფხვნილის და მისი გამოყენებით მიღებული Co, Co-Sn და Co-Ni-Sn შემადგენლობის ცხობილების ფრაქტოგრამების მიკროსკოპული ანალიზი. სურათებზე 1, 2 საწყისი და აქტივირებული Co ფხვნილები.



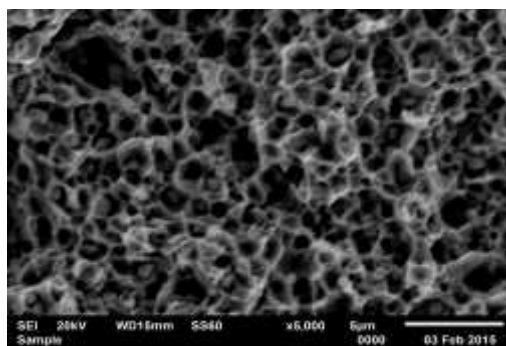
სურათი 1. Co საწყისი ფხვნილი



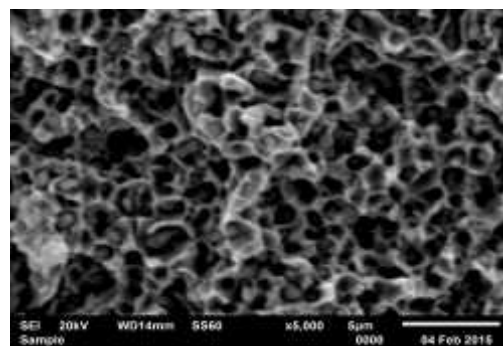
სურათი 2. Co საწყ. ფხვნილი აქტივირებული

მიღებული შედეგების ანალიზი იძლევა შემდეგი დასტანების გაკეთების საშუალებას:

1. საწყისი კობალტის ფხვნილი წარმოდგენილია სფეროიდური ფორმის 1 – 3 მკმ ზომის მარცვლებისაგან. აქტივაციის პროცესი (50სთ) მნიშვნელოვნად ცვლის მარცვლების გაომეტრიულ ფორმას. სფეროიდული ფორმა ძირითადად შესაბამისად ფირფიტური გეომეტრიით საშუალო განზომილებებით 1 X 2 X 5 მკმ.

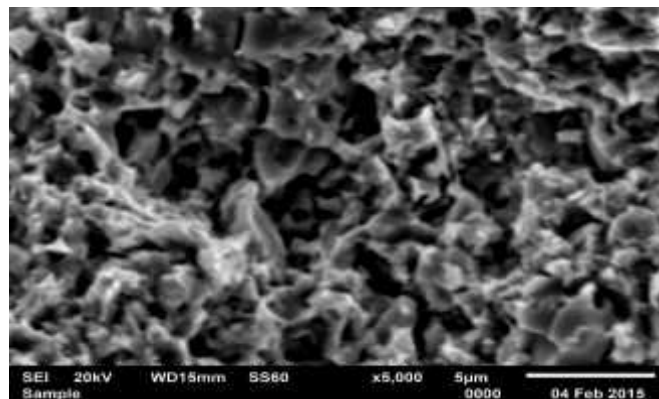


სურათი 3. შემცხვარი Co



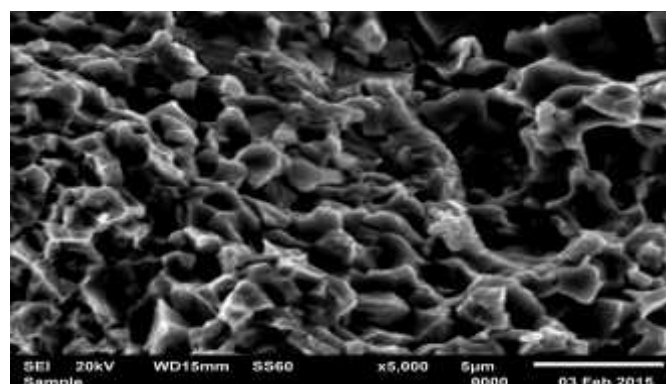
სურათი 4. შემცხვარი Co აქტივ. ფხვნილით.

2. მყარი შეცხობის პირობებში ($T = 820 - 880^{\circ}\text{C}$; $P = 350$ კგ/ცმ 2) კობალტის ცხობილი წარმოადგენს მონოლითს (ფიქსირებული აღნაგობის). ფორების სიდიდე 0.5 – 2 მკ. აქტივირებული ფხვნილისაგან შემცხვარი ნიმუში ხასიათდება ნაკლები ფორიანობით. წარმოქმნილი ფორები ხასიათდებიან იგივე ზომებით (0.5 – 1.5 მკ); უმნიშვნელოდ მომატებულია სიმკვრივე; რაც შეეხება ფიზიკურ-მექანიკური მახასიათებლებს, ცვლილება გამოიხატა 1–2 ერთეულით მომატებულ სისალეში (სურათი 3, 4).



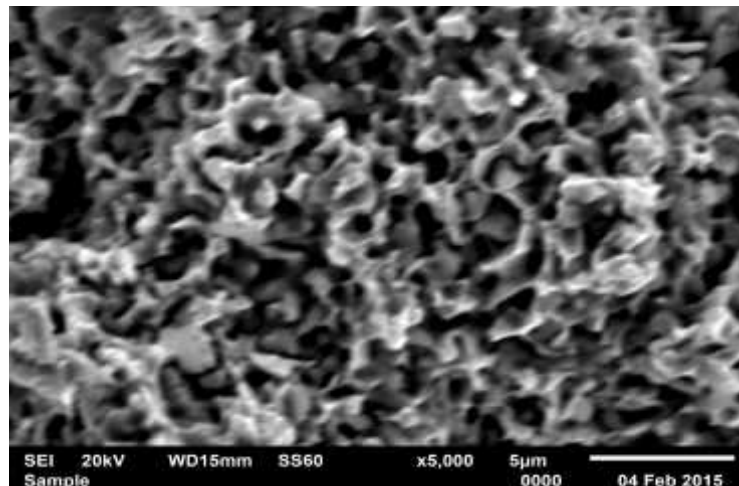
სურათი 5. შემცხვარი Co – Sn

3. Co-Sn, სისტემის ფრაქტოგრამმა (სურ.5) ხასიათდება უფრო ერთგვაროვანი სტრუქტურით. ფორიანობა მნიშვნელოვნად არის შემცირებული. Co-Sn-Ni, ნიმუშის ტეხი (სურ.6) ხასიათდება საკმაოდ მაღალი ერთგვაროვნებით. ფორიანობა არ არის მკაცრად გამოხატული საწყისი Co ფხვნილისაგან შემცხარ ნიმუშთან შედარებით. მიკროსკოპული და სპექტრალური ანალიზი აჩვენებს მიკროარაერთგვაროვანი უბნების არსებობას, აღინიშნება მიკროუბნები გამდიდრებული Sn-ის შემცველობით.



სურათი 6. შემცხვარი Co – Sn – Ni

4. აქტივირებული ფხვნილებით მიღებული Co-Sn-Ni სისტემის ცხობილის ნიმუშები (სურათი 7) ხასიათდებიან შედარებით უფრო მაღალი ერთგვაროვნებით. შეიმჩნევა ტენდენცია უფრო წვრილმარცვლოვანი სტრუქტურისაკენ. ამავე დროს აღნიშნული ნიმუშების სისალეები მომატებულია 3 – 4 ერთეულით (ცხრ. №2).



სურათი 7. შემცვარი Co-Sn-Ni აქტივირებული ფხვნილებით.

გარდა გრანულომეტრიული და მორფოლოგიური ცვლილებებისა, რომელსაც ადგილი აქვს საწყისი კომპონენტების – ლითონური ფხვნილების დამუშავების შემდეგ წისქვილებში (ბურთულებიანი და პლანეტარული) ე.წ. “აქტივირებული” Fe -ის და Co -ის ფხვნილების გამოყენებისას ალმასკომპოზიციური მასალების შეცხობისას, გამოვლინდა რიგი მნიშვნელოვანი გარემოებებისა. “აქტივირებული” ფხვნილების გამოყენებისას მატულობს კაზმის პრესვადობა და შესამჩნევ ფარგლებში მცირდება კომპოზიციის შეცხობისათვის საჭირო ტემპერატურა – $15\text{-}20^{\circ}\text{C}$ -ით. საჭირო ოპტიმალურ ტემპერატურად იგულისხმება მისი ის მინიმალური მნიშვნელობა, როდესაც შესაძლებელია დაგეგმილი ფიზიკურ-მექანიკური მახასიათებლების მიღება. ეს ფაქტი კარგ თანხვედრაშია ლიტერატურულ მონაცემებთან. სადაც ნაჩვენებია, რომ პლანეტარულ, ცენტრიდანულ წისქვილში დამუშავებული, აქტივირებული ფხვნილების შეცხობის პროცესის აქტივაციის ენერგია მცირდება.

შერჩეული შემადგენლობის Co, 85%Co–15%Sn,, 60%Co-16%Sn-24%Ni, კომპოზიტები ხასიათდებიან მიღების მაღალი ტექნოლოგიურობით (პრესვადობა, შეცხობის ტემპერატურა) და მაღალი ფიზიკურ– მექანიკური მახასიათებლებით (HRB, σ, KCU). შემდგომში ისინი გამოყენებულ იქნენ ალმასური ინსტრუმენტის დასამზადებლად ალმასკომპოზიტიურ ელემენტებში (სეგმენტებში) ლითონშემქვრელებად. მათ ბაზაზე დამზადებული ალმასური ინსტრუმენტების ექსპლუატაციური მახასიათებლების დადგენა განხორციელდა ბურდვის ოპერაციაზე.

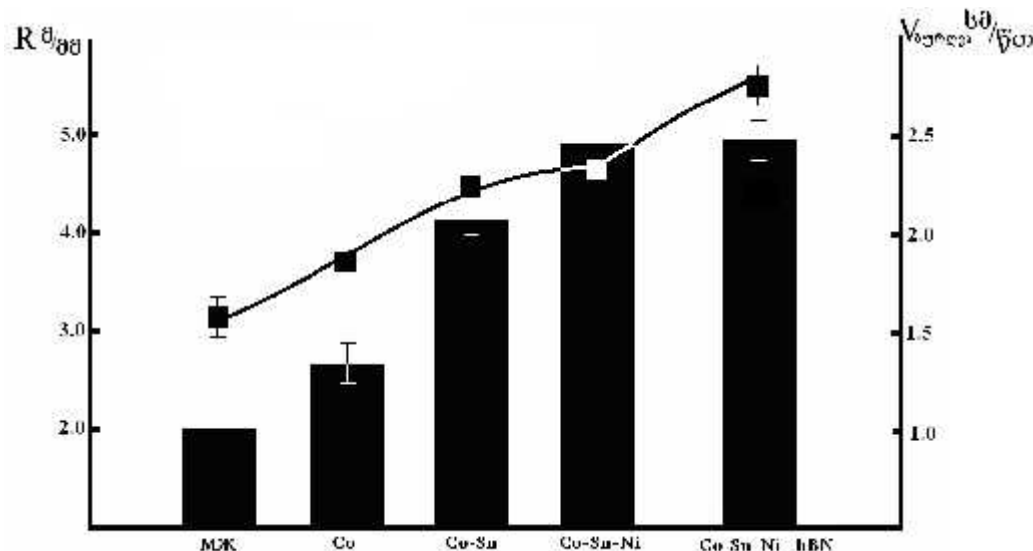
ბურდვის ოპერაციაზე ინსტრუმენტის გამოცდა ხორციელდებოდა არმირებული ბეტონის ფილებში გამჭოლი ნახვრეტების გაკეთებით. ფილების სისქე 50მმ, ბეტონის მარკა M 400, არმირების კონცენტრაცია 6%. ბეტონი არმირებული იყო Φ 16მმ დიამეტრის არმატურით.

მედეგობის ცდები ჩატარებული იყო რკინა-ბეტონის ბურდვისას მილისებრი სეგმენტური ალმასური ბურდით სპეციალურ გამოსაცდელ სტენდზე (სურათი 8). მილისებრი ალმასური ბურდის დიამეტრი შეადგენდა Φ60მმ ბურდის თავი აღჭურვილი იყო 6 ალმასური სეგმენტით, ზომა 21X6X3 მმ, მჭრელი წიბოს(სეგმენტის) სისქე შეადგენდა 3მმ.



სურათი 8. სტენდი და მასზე მიმდინარე ბურდვის ტექნპერაცია

ნახ. 17-ზე წარმოდგენილია ექსპერიმენტების შედეგად მიღებული სხვადასხვა შემადგენლობის ალმასკომპოზიტით აღჭურვილი ალმასური ინსტრუმენტის წარმადობისა და მედეგობის მნიშვნელობები. შედარებისათვის ამავე სურათზე დატანილია ცნობილი, სტანდარტული შემადგენლობის (MЖ, M6-01) ალმასკომპოზიტით აღჭურვილი ინსტრუმენტის ექსპლუატაციური მაჩვენებლები, რომელიც ფართოდ გამოიყენება მშენებლობაში ბეტონების დამუშავებისას.

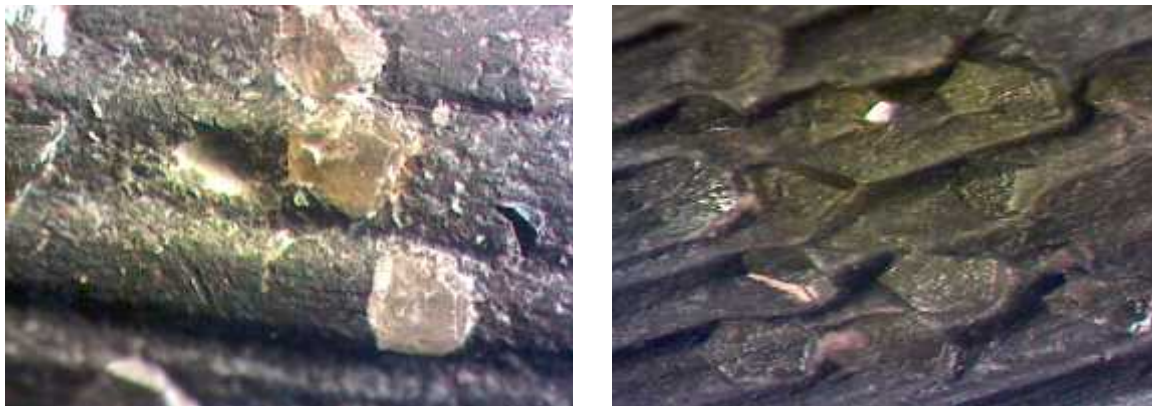


ნახ.17. სხვადასხვა შემადგენლობის ალმასური ბურდების წარმადობის და მედეგობის შედარებითი მონაცემები

მიღებულია დადებითი შედეგები. 85%Co-15%Sn და 60%Co-16%Sn-24%Ni შემადგენლობის კომპოზიტები მუშაუნარიანობით მნიშვნელოვნად აღემატებიან სტანდარტულ M6-01-ისა და Co შემკვრელებით დამზადებულ ინსტრუმენტებს.

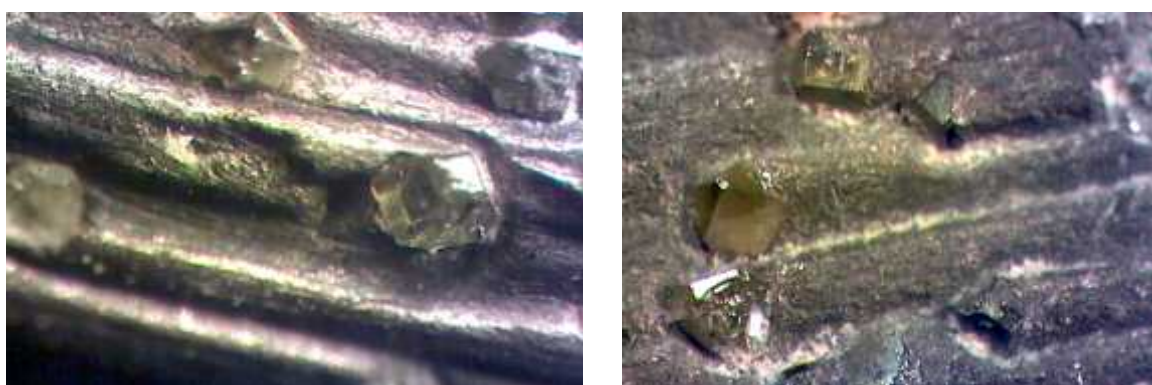
მოყვანილი შედეგები ცხადყოფენ, ჩვენს მიერ შერჩეული შემადგენლობის ლითონშემკვრელების გამოყენება ალმასურ ინსტრუმენტში მკვეთრად ამაღლებს მის მედეგობას. ამავე დროს ჭრის ოპერაციის სიჩქარე რჩება მაღალ დონეზე.

შესწავლით ნამუშევარი სეგმენტების მუშა ზედაპირების ტოპოგრაფია. სურ. 9 გამოსახულებებზე ჩანს მიღებული დადებითი ეფექტის ძირითადი გამომწვევი მიზეზები.



Fe-Cu-Sn-Ni

Co



Co-Sn

Co-Sn -Ni

სურათი 9. სხვადასხვა შემადგენლობის ალმასკომპოზიტის მუშა ზედაპირები დასამუშავებელ მასალასთან ურთიერთქმედების შემდეგ

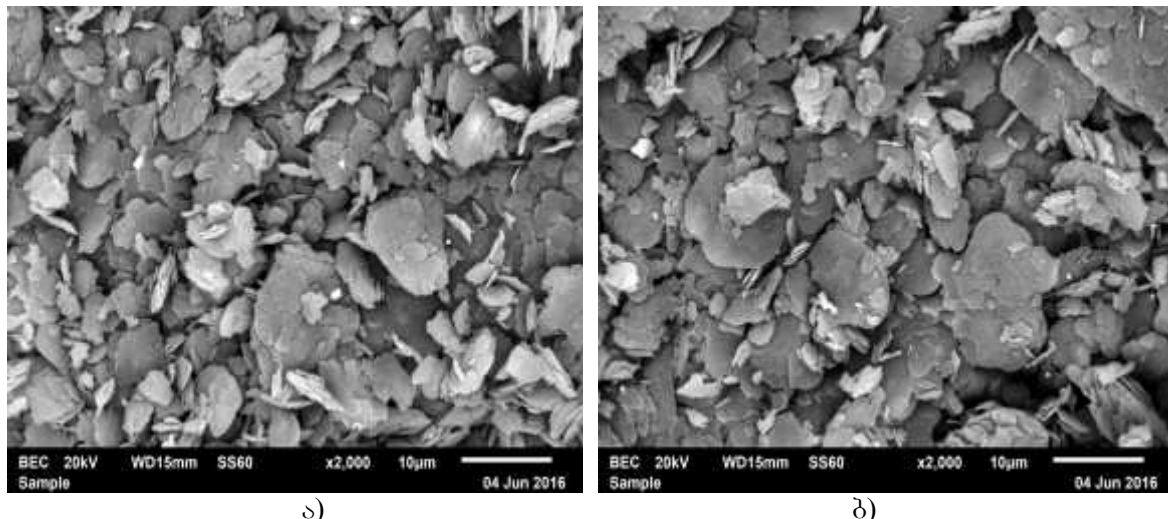
შერჩეულ Co-Sn და Co-Sn-Ni შემადგენლობის შემკვრელებში მნიშვნელოვნად მომატებულია ალმასდაჭერის უნარი, რაც გამოიხატება ალმასების გამოშვერის დამახასიათებელი სიდიდის ϵ -ის მკვეთრი მომატებით.

გარდა ამისა, შეცვლილია ნამუშევარი ალმასური კრისტალების მორფოლოგიური სურათი. სტანდარტული M6-01 მარკის შემკვრელში ჩასმული ალმასური კრისტალები გამოირჩევიან მუშაობის პროცესში მიღებული მრავალი დაფაქტებითა და ბზარებით (სურ. 9) ეს გარემოება ჩვენის აზრით, შეიძლება გამოწვეული იყოს მუშაობის პროცესში

მომატებული ლოკალური ტემპერატურებით, რისი მიზეზიც შეიძლება იყოს Fe-Cu-Sn-Ni შენადნის მაღალი ხახუნის კოეფიციენტი დასამუშავებელი მასალის ზედაპირის მიმართ.

მიღებული შედეგების შემდგომი გაუმჯობესების მიზნით, დაიგეგმა და ჩატარდა შემადგენლობის 60%Co-16%Sn-24%Ni სისტემის შემდგომი ლეგირება ულტრადისპერსული დანამატებით. შეირჩა ჰექსოგონალური მოდიფიკაციის ბორის ნიტრიდი hBN. დანამატის რაოდენობა 0.1%.

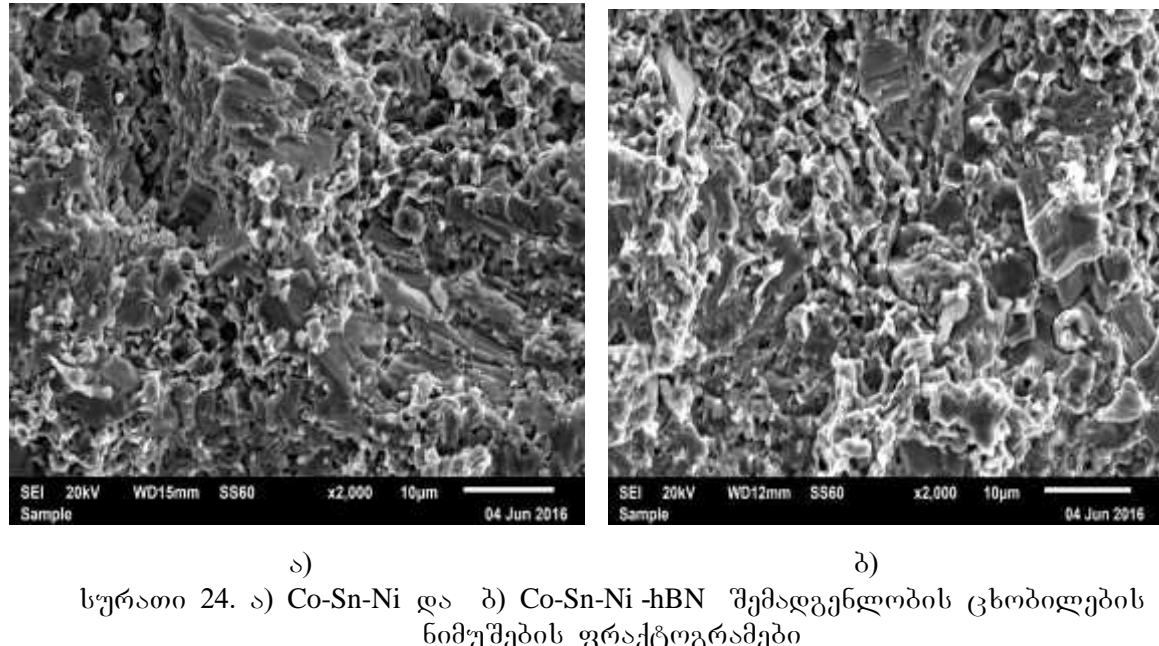
საწყისი მარცვლოვანების (10-15მმ) hBN (სურ.10) დამუშავდა პლანეტარულ ცენტრიდან ულ საფქვავში “Pulverisette 7 Premium line“ 6-7 წთ. განმავლობაში. დამუშავებული hBN ფხვნილი შესაბამისი დოზით შემდგომში შეერია კონკრეტული შემადგენლობის – 60%Co-16%Sn-24%Ni ფხვნილოვან კაზმს იმავე დანადგარზე.



სურათი 10. hBN a)საწყისი და ბ)პლანეტარულ-ცენტრიდან ულ წიქვილში დამუშავებული ფხვნილები

60%Co-16%Sn-24%Ni+0.1%hBN შემადგენლობების სეგმენტებით დამზადებული ალმასური ინსტრუმენტის მუშაობის მახასიათებლები მოყვანილია ნახ.17, საიდანაც ჩანს რომ, მაღალი მედეგობის მაჩვენებლების შენარჩუნებასთან ერთად შესამჩნევად გაიზარდა ინსტრუმენტის მიერ რეალიზებული ჭრის სიჩქარეც. მიღებული ფაქტი ჩვენის აზრით განპირობებულია იმ ფაქტორით, რომ hBN წარმოადგენს რა ფენოვანი სტრუქტურის მასალას (სურ.10,11), გრაფიტის მსგავსად “მშრალ საპონ”

ნივთიერებას. იგი თავისი თვისებებიდან გამომდინარე, ამცირებს ხახუნის კოეფიციენტს ინსტრუმენტის ლითონურ მატრიცასა და დასამუშავებელი მასალის ზედაპირს შორის. ამ დროს მცირდება როგორც დინამიური, ასევე თბური დატვირთვები ალმასურ კრისტალებზე. უმჯობესდება ჭრის პირობები, მაღლდება წარმადობა.



სურათი 24. а) Co-Sn-Ni და ბ) Co-Sn-Ni -hBN შემადგენლობის ცხობილების ნიმუშების ფრაქტოგრამები

დისერტაციის ძირითადი შედეგები გამოქვეყნებულია შრომებში

1. ზ.ავალიშვილი. ცხელი დაწესევის პირობებში მიღებული Co-Sn და Co-Ni-Sn შემადგენლობების ფიზიკურ – მექანიკური თვისებების დამოკიდებულება ქიმიურ შემადგენლობაზე. ახალგაზრდა მეცნიერთა კონფერენცია, საქართველოს მეცნიერებათა ეროვნული აკადემია, ბაკურიანი, 26–28 თებერვალი, 2016, თეზისები.
2. Авалишвили З.А., Церодзе М.П., Лоладзе Н.Т. Влияние некоторых физико-механических свойств металлической связки на эффективность работы алмазного инструмента. //European research : Innovation in science, Education and Technology. XI International scientific and practical conference, Moscow, 23-25 Desember 2015, Изд."Проблемы науки", 10(11),2015.стр.46-54.
3. ზ.ავალიშვილი, შ.წეროძე, მ.წეროძე, ი.ძიძიშვილი, ნ.ლოლაძე. ალმასკომპოზიტი მასალების ზოგიერთი ფიზიკურ-მექანიკური

პარამეტრის გავლენა ალმასური დამუშავების ტექნოლოგიური პროცესის ეფექტურობაზე// GEN, GFID, №3, 2015, გვ.55–58.

4. Авалишвили З. А., Церодзе М.П., Дзидзишвили Ю.Г., Лоладзе Н.Т. Изучение влияния Р-Т- $\dot{\tau}$ параметров горячего прессования на твердость сплавов систем Co-Cu-Sn, Cu-Sn и Cu-Sn –Ni используемых в качестве связок алмазкомпозиционного материала. // GEN, GFID, №4, 2014, стр.35-3.
5. Лоладзе Н.Т., Церодзе Ш.П., Церодзе М.П., Дзидзишвили Ю.Г., Авалишвили З. А., Сулаберидзе З.Г. Конструкция ячейки камер высокого давления для спекания алмазкомпозиционных материалов. // GFID, GEN, №2, 2014, стр.73-76.

დასკვნა

1. შემუშავებული და აპრობირებულია სარეაქციო არის ანაწყობის სქემა ახალი თბო და საიზოლაციო მასალების გამოყენებით ცხელი პრესვის ტექნოლოგიურ ოპერაციაზე გამოსაყენებლად. დადგენილია, რომ შემუშავებული მეთოდოლოგია მნიშვნელოვნად ამაღლებს მიღებული ცხობილების ხარისხს, ხოლო პროცესის ენერგოტეგადობა მცირდება 40-50%-ით.
2. ჩამოყალიბებულია კონკრეტულ სფეროში გამოყენებული ალმასკომპოზიტის ლითონური შემკვრელისათვის მოთხოვნილ თვისებათა ძირითადი პარამეტრები.
3. შესწავლილია Cu-Sn, Cu-Sn-Ni, Co-Sn, Co-Sn-Ni სისტემების შენადნოა ფიზიკურ-ქიმიური და ფიზიკურ-მექანიკური მახასიათებლების დამოკიდებულება კომპონენტების ქიმიურ შემადგენლობაზე და შეცხობის თერმოდინამიკურ და კინეტიკურ პარამეტრებზე.
4. ჩატარებული სტრუქტურული და ფაზური კვლევების საფუძველზე დადგენილია, რომ ცხელი პრესვის პირობებში, სტრუქტურირების და ფაზურმოქმნის პროცესები მიმდინარეობენ კინეტიკურ რეჟიმში.
5. დადგენილია, რომ Co-Sn, Co-Sn-Ni სისტემებში კალის კონცენტრაციის მომატებით მკვეთრად მაღლდება ცხობილის სისალე. სისალის მომატება ტემპერატურულ ინტერვალში 790-880°C განპირობებულია Co₃Sn₂ და Ni₃Sn ინტერმეტალიდების ინტენსიური წარმოშობით.

6. ექსპერიმენტალური პველევების საფუძველზე დადგინდა, რომ დასახულ მოთხოვნათა კომპლექსს მაქსიმალურად პასუხობს Co-Sn-Ni შემადგენლობის სისტემა. შედეგი ქიმიური შემადგენლობით $\text{Co}=40\%$, ხოლო კალა და ნიკელი წარმოდგენილია შემდეგი თანაფარდობით 3 : 2.
7. შექმნილია სხვადასხვა შემადგენლობის ალმასკომპოზიციური მასალებით არმირებული ალმასური ინსტრუმენტი. ინსტრუმენტის გამოცდა განხორციელდა რკინა-ბეტონის ბურდვის ოპერაციაზე გამოსაცდელ სტენდზე საწარმოოსთან მიახლოებულ პირობებში.
8. დადგენილია, რომ შემოთავაზებული $60\% \text{Co}-16\% \text{Sn}-24\% \text{Ni}$ შემადგენლობის შემკვრელის ალმასკომპოზიტები 60 და 80% -ით აღემატებიან ჭრის უნარითა და მედეგობით ფართო მოხმარებაში არსებულ ანალოგებს.
9. შესწავლილია საბაზო შემადგენლობის $60\% \text{Co}-16\% \text{Sn}-24\% \text{Ni}$ შემკვრელზე მიკროდისკერსული hBN დანამატის გავლენა. დადგენილია, რომ ნანოტექნოლოგიის ელემენტების გამოყენება ალმასკომპოზიტის მიღებისას რეალურად ამაღლებს პროცესის ეფექტურობას. კერძოდ, შესამჩნევად მაღლდება ალმასური დამუშავების პროცესის წარმადობა

Abstract

The aim of the work is create diamond composite material with elevated operating indications to be used in various fields of industry. The presented work aims to find new efficient metal binders and there effective usage for sintering diamond composite materials.

Research was carried out and corresponding technology stated for the composites where the main component is a large sized, high quality diamond mono-crystals. The mentioned types of diamond composites are produced to be used in extreme conditions, accordingly rigid requirements are placed upon them.

The metal components of the planned compositions with various chemical consistency, structure, phase compositions and correspondingly physical-mechanical characteristic where used to fabricate the diamond composite materials. Presented work will by all means make moderate contribution in search of new systems of binders for diamond-composite materials and to overcome the technological difficulties occurring in the course of diamond application. There are presented some technological aspects of production diamond composite materials on the basis of metal binders by method of hot isostatic pressing. Some technical solutions are elaborated which enable to increase the sintering process technological effectiveness of diamond composite materials with specified geometrical dimensions. There were studies and investigated different constituency alloys of Cu-Sn, Cu-Sn-Ni, Co-Sn and Co-Sn-Ni system sintered in various P-T- parameters by method of hot pressing.

For studying of Me-Me systems electro microscopy, X-ray structure, X-ray phase, X-ray spectral methods of investigation were carried. Investigation of physical-mechanical properties of sintered metallic system, such as macro and micro hardness, solidity limit on bending and impact viscosity by means of corresponding methodology was carried out. The alloys with highest characteristics where used as binders in diamond composite materials sintering process.

It was studies and revealed the influence of hBN additives presence in Co-Sn-Ni system on physical-mechanical characteristics of sinters. Operating characterizes of diamond composite materials (cutting ability, wear resistance) on the operation of concrete and reinforced concrete drilling process were studied on the test stands. The experimental date stated that diamond composite materials based on systems Co-Sn-Ni and Co-Sn-Ni-hBN have exploitation index 30-40% higher than that some analogies.